Téléchirurgie robotisée au contact d'organes mobiles

II. Modélisation du manipulateur maître

II.2.1 Mesure de l'écart entre les performances géométriques souhaitées et simulées

Q1. Fermeture géométrique

En s'appuyant sur la figure 5, la fermeture géométrique donne : $\overrightarrow{AB} + \overrightarrow{BC} + \overrightarrow{CD} + \overrightarrow{DA} = \overrightarrow{0}$.

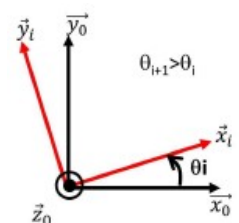
D'où, en tenant compte du paramétrage du sujet : $L_0 \cdot \overrightarrow{x_0} + L_1 \cdot \overrightarrow{x_1} - L_2 \cdot \overrightarrow{x_3} - L_2 \cdot \overrightarrow{x_2} = \overrightarrow{0}$

Or on a pour i=1,2,3 : $\overrightarrow{x_i} = \cos(\theta_i) \cdot \overrightarrow{x_0} + \sin(\theta_i) \cdot \overrightarrow{y_0}$

D'où les relations en projection dans le plan $(A, \overrightarrow{x_0}, \overrightarrow{y_0})$:

$$sur \overrightarrow{x_0} : L_0 + L_1 \cdot \cos(\theta_1) - L_2 \cdot \cos(\theta_3) - L_2 \cdot \cos(\theta_2) = 0 (1.1)$$

$$sur \overrightarrow{y_0} : 0 + L_1 \cdot \sin(\theta_1) - L_2 \cdot \sin(\theta_3) - L_2 \cdot \sin(\theta_2) = 0 (1.2)$$



Pour obtenir la relation demandée, il faut isoler θ_2 puis le faire « disparaître » :

$$(1.1): L_0 + L_1 \cdot \cos(\theta_1) - L_2 \cdot \cos(\theta_3) = L_2 \cdot \cos(\theta_2)$$

$$(1.2): 0 + L_1.\sin(\theta_1) - L_2.\sin(\theta_3) = L_2.\sin(\theta_2)$$

Ainsi la somme des carrés des relations (1.1) et (1.2) donne :

$$L_{2}^{2} \cdot \left(\cos(\theta_{2})^{2} + \sin(\theta_{2})^{2}\right) = \left(L_{0} + L_{1} \cdot \cos(\theta_{1}) - L_{2} \cdot \cos(\theta_{3})\right)^{2} + \left(L_{1} \cdot \sin(\theta_{1}) - L_{2} \cdot \sin(\theta_{3})\right)^{2}$$

D'où finalement :
$$\overline{ L_2 = \sqrt{ \left(L_0 + L_1 . \cos(\theta_1) - L_2 . \cos(\theta_3) \right)^2 + \left(L_1 . \sin(\theta_1) - L_2 . \sin(\theta_3) \right)^2 } } \ \text{car} \ L_2 > 0 \ .$$

Q2. Position du point E

$$\overrightarrow{AE} = \overrightarrow{AB} + \overrightarrow{BC} + \overrightarrow{CE}$$
 avec $\overrightarrow{CE} = 2.\overrightarrow{CD} = -2.L_2.\overline{x_3}$

$$\mathbf{D}' \circ \mathbf{u} \overbrace{\overrightarrow{AE}} = L_0.\overrightarrow{x_0} + L_1.\overrightarrow{x_1} - 2.L_2.\overrightarrow{x_3} = \begin{pmatrix} L_0 + L_1.\cos(\theta_1) - 2.L_2.\cos(\theta_3) \\ L_1.\sin(\theta_1) - 2.L_2.\sin(\theta_3) \\ 0 \end{pmatrix}_{(B_0)}$$

Q3. Vérification des exigences (id 1.2.1.1) et (id 1.2.1.2) sur l'intervalle [-60 mm, 40 mm].

Sur l'intervalle considéré :

- Sur la figure 6.(a) on relève que XE varie de 100 mm, ce qui est supérieur à 50 mm la valeur exigée pour l'amplitude de déplacement (id 1.2.1.1);
- Sur la figure 6.(b) on relève que l'amplitude en Y est $Y_E \max Y_E \min = -100,00 \ mm + 100,25 \ mm = 0,25 \ mm$ ce qui est inférieur à 0,5 mm la valeur maximale admissible par l'exigence de mouvement rectiligne (id 1.2.1.2);
- Sur la figure 6.(b) on relève le taux de variation $-2\% < \frac{dY_E}{dX_E} \le 2\%$ ce qui vérifie l'exigence de mouvement rectiligne (id 1.2.1.2).

Ainsi le déplacement du point E est compatible avec les exigences (id 1.2.1.1) et (id 1.2.1.2) sur l'intervalle [-60 mm, 40 mm].

Q4. Vérification de l'exigence (id 1.2.1.3) sur l'intervalle [-60 mm, 40 mm].

L'exigence considérée spécifie que la relation entre des déplacements doit être linéaire à 99%.

Si la grandeur associée au déplacement du bouton de commande est clairement identifiable (c'est XE), celle associée au capteur de position est plus floue. En supposant que le capteur de position soit un capteur angulaire intercalé entre le bâti (0) et la barre (1), il s'agit alors de θ_1 . Ce choix est conforté par la figure 8 donnant les évolutions de XE en fonction de θ_1 .

Pour vérifier l'exigence sur l'intervalle [-60 mm, 40 mm], on propose d'exploiter les valeurs visibles sur le zoom donné figure 8(b) pour tracer une courbe avec un tableur. Le coefficient de corrélation de la régression linéaire devra être supérieur à 0,99 pour vérifier l'exigence.

II.2.2 Mesure de l'écart entre les performances statiques souhaitées et simulées

Q5.

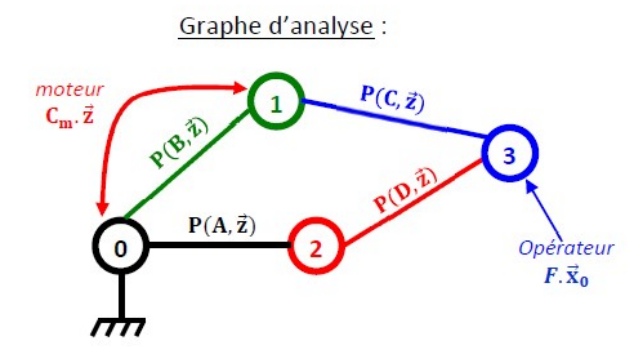
La modélisation plane permet d'écrire :

$$\{T_{0 \rightarrow 2}\} = \begin{tabular}{l} \{X_{02} & - \\ Y_{02} & - \\ - & 0 \end{tabular}_{B_0} \mbox{ et } \{T_{3 \rightarrow 2}\} = \begin{tabular}{l} \{X_{32} & - \\ Y_{32} & - \\ - & 0 \end{tabular}_{B_0} \label{eq:table_eq}$$

Le solide 2 étant soumis à 2 glisseurs, à l'équilibre :

$$\overrightarrow{R}_{0\rightarrow 2}=-\overrightarrow{R}_{3\rightarrow 2}=R_{02}.\,\overrightarrow{x}_{2}$$

car (AD) support de ces 2 glisseurs colinéaire à \vec{x}_2



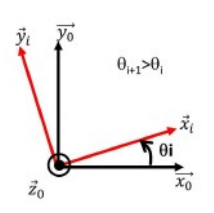
Stratégie d'isolement :

| Étape | Isolement | Théorème | Projection | Résultat |
|-------|-----------|----------|--------------|--|
| 1 | 3 | TMS en C | Sur z | $\mathbf{R_{02}} = \mathbf{f}(\mathbf{F})$ |
| 2 | 1+3 | TMS en B | Sur z | $C_m = f(R_{02}, F)$ |

Étape 1 : On isole 3 et on applique le TMS en C en projection sur \vec{z} BAME :

$$\frac{1}{\left\{T_{\text{op}\to 3}\right\}} = \begin{cases} F.\vec{x}_{0} \\ \vec{0} \end{cases} \quad \left\{T_{1\to 3}\right\} = \begin{cases} X_{13} & - \\ Y_{13} & - \\ - & 0 \end{cases}_{B_{0}} \quad \left\{T_{2\to 3}\right\} = \begin{cases} \vec{R}_{2\to 3} = R_{02}.\vec{x}_{2} \\ \vec{0} \end{cases}$$
modélisation plane (\vec{y}, \vec{y})

$$\begin{array}{ll} (\overrightarrow{CE} \wedge F. \vec{x}_0 + \overrightarrow{CD} \wedge R_{02}. \vec{x}_2). \vec{z} = 0 \\ D'où & (-2L_2. \vec{x}_3 \wedge F. \vec{x}_0 - L_2. \vec{x}_3 \wedge R_{02}. \vec{x}_2). \vec{z} = 0 \\ Soit & R_{02} = -\frac{2F sin \theta_3}{sin (\theta_3 - \theta_2)} (1) \end{array}$$



Étape 2 : On isole 1+3 et on applique le TMS en B en projection sur \vec{z}

BAME:

$$\left\{T_{0 \longrightarrow 1}^{mot}\right\} = \left. \begin{cases} \vec{0} \\ C_{m} \cdot \vec{z} \end{cases} \quad , \quad \left\{T_{0 \rightarrow 1}\right\} = \left. \begin{cases} X_{01} & - \\ Y_{01} & - \\ - & 0 \end{cases}_{R_{0}}, \quad \left\{T_{op \rightarrow 3}\right\} = \left. \begin{cases} F \cdot \vec{x}_{0} \\ \vec{0} \end{cases} \right\} \quad , \quad \left\{T_{2 \rightarrow 3}\right\} = \left. \begin{cases} R_{02} \cdot \vec{x}_{2} \\ \vec{0} \end{cases} \right\}$$

TMS en B.z :

$$\begin{array}{ll} C_m + \left(\overrightarrow{BE} \wedge F. \vec{x}_0 + \overrightarrow{BD} \wedge R_{02}. \vec{x}_2 \right). \vec{z} = 0 \\ \text{D'où} & C_m + \left((L_1. \vec{x}_1 - 2L_2. \vec{x}_3) \wedge F. \vec{x}_0 + (L_1. \vec{x}_1 - L_2. \vec{x}_3) \wedge R_{02}. \vec{x}_2 \right). \vec{z} = 0 \end{array}$$

On a donc
$$C_m + F(-L_1\sin\theta_1 + 2L_2\sin\theta_3) + R_{02}(L_1\sin(\theta_2 - \theta_1) + L_2\sin(\theta_3 - \theta_2)) = 0$$
 (2)

En combinant (1) et (2), on obtient

$$C_m + F(-L_1 sin\theta_1 + 2L_2 sin\theta_3) - \frac{2F sin\theta_3}{sin\left(\theta_3 - \theta_2\right)} (L_1 sin(\theta_2 - \theta_1) + L_2 sin(\theta_3 - \theta_2)) = 0$$

Soit

$$C_m = \frac{L_1 F}{\sin{(\theta_2 - \theta_3)}} [\sin{\theta_1} \sin{(\theta_2 - \theta_3)} - 2\sin{\theta_3} \sin{(\theta_2 - \theta_1)}]$$
 Ou encore la forme attendue dans le sujet :

$$C_{\rm m} = \frac{L_1 F}{\sin(\theta_2 - \theta_3)} [\sin\theta_1 \sin(\theta_2 + \theta_3) - 2\cos\theta_1 \sin\theta_2 \sin\theta_3]$$

Q6. Validité de l'exigence « Linéarité couple/effort » (id 1.3.2.2)

L'exigence « Linéarité couple/effort » (id 1.3.2.2) impose d'avoir le ratio couple/effort constant à +/-1%.

Le zoom de la figure 9(b) donne
$$\left(\frac{C}{F}\right)_{\text{max}} = 33,375 \text{ mm}$$

Cette valeur max doit correspondre à la valeur moyenne plus 1%,

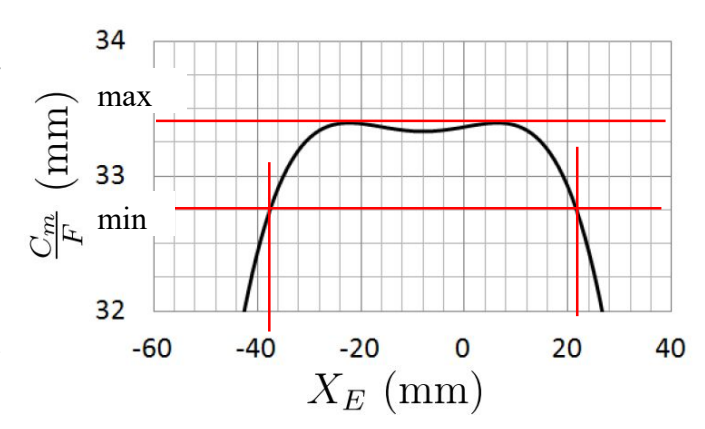
d'où
$$\left(\frac{C}{F}\right)_{\text{max}} = 1.01 \times \left(\frac{C}{F}\right)_{\text{max}} \Leftrightarrow 1\% = \left(\frac{C}{F}\right)_{\text{max}} \times \frac{1}{101} = \frac{33,375 \text{ mm}}{101} = 0,330 \text{ mm}.$$

Par suite on doit avoir
$$\left(\frac{C}{F}\right)_{min} = \left(\frac{C}{F}\right)_{max} - 2\% = 33,375 - 0,66 = 32,715 \, mm$$
.

Cette condition est vérifiée pour XE dans [-38 mm, +22 mm]l'intervalle construction sur la figure 9.b ci-contre).

Alors la course est de 60 mm et supérieure aux 50 mm exigés par l'exigence amplitude de déplacement (id 1.2.1.1).

De plus, cet intervalle étant compris dans l'intervalle [-60 mm,+40 mm], les exigences déjà vérifiées sur cet intervalle restent valables.



II.3 Modélisation du codeur optique

Q7. Satisfaction de l'exigence « Résolution mesure consigne » (id : 1.2.2.1)

Ce codeur délivre 4000 impulsions par tour (2 impulsions par fente et par capteur). Il a donc une résolution de $360^{\circ}/4000 = 0,09^{\circ}/\text{pt}$ de mesure.

La figure 8(b) nous donne le coefficient de proportionnalité :

$$\frac{\Delta X_E(mm)}{\Delta \theta_*(\circ)} = \frac{38 - (-55)}{260 - 100} = \frac{93}{160} = 0.581 \, mm/\circ$$

Pour une rotation de 0,09° du moteur correspond un déplacement du point E de :

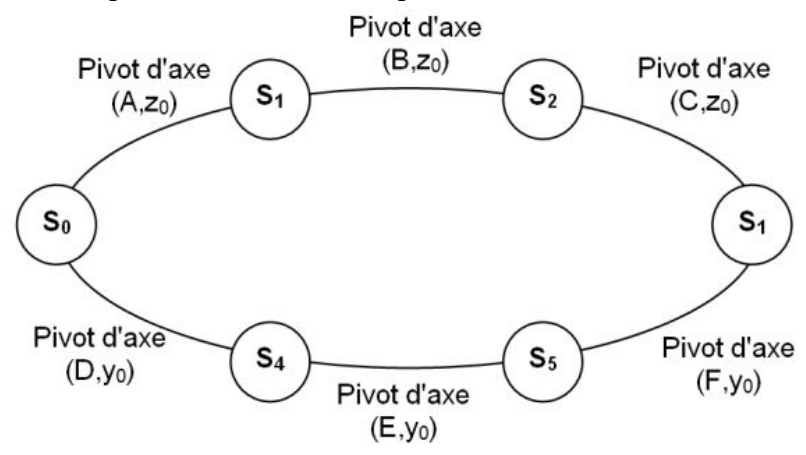
$$\Delta X_E(mm) = 0.581 \, mm / ^{\circ} \times 0.09^{\circ} = 0.052 \, mm$$

Cette valeur est inférieure à 0,1 mm imposée par l'exigence (id : 1.2.2.1) qui est donc satisfaite.

III. Modélisation du manipulateur esclave

III.2 Modélisation de l'interface esclave

Q8. Graphe des liaisons du dispositif esclave.



Q9.

En considérant la chaîne de solides (0-1-2-3), on peut exprimer :

$$\overrightarrow{V_{C,3/0}} = \frac{d\overrightarrow{AC}}{dt}\Big|_0$$
 le point C ayant une réalité physique sur le solide 3.

Soit

$$\overrightarrow{V_{C,3/0}} = \frac{d(\overrightarrow{AB} + \overrightarrow{BC})}{dt} \bigg|_0 = \frac{d(L_1\overrightarrow{x_1} + L_2\overrightarrow{x_2})}{dt} \bigg|_0 \text{ . Finalement } \overrightarrow{\overrightarrow{V_{C,3/0}}} = L_1 \dot{\theta_1} \overrightarrow{y_1} + L_2 \dot{\theta_2} \overrightarrow{y_2}$$

Q10. Montrer que le mouvement de S3 /S0 ne peut être qu'une translation de direction \vec{x}_0 .

En considérant cette fois la chaîne de solides (0-4-5), on peut exprimer :

$$\overrightarrow{V_{C,3/0}} = \frac{d\overrightarrow{AC}}{dt} \bigg|_0 = \frac{d(L_3 \overrightarrow{y_0} + x_S \overrightarrow{x_0})}{dt} \bigg|_0 = \dot{x_s}. \overrightarrow{x_0}$$

Le mouvement de 3/0 est donc une translation de direction $\overrightarrow{x_0}$.

Q11. NON TRAITÉE

Q12. Equation différentielle liant les paramètres.

$$\theta_1 \approx \alpha . x_s$$
 donne $\theta_1^{\cdot} \approx \alpha . \dot{x}_s$ et $\ddot{\theta}_1 \approx \alpha . \ddot{x}_s$.

Par suite la relation issue du TEC s'écrit : $M_3.\dot{x}_s.\ddot{x}_s + I_1.\alpha^2.\dot{x}_s.\ddot{x}_s = Cm.\alpha.\dot{x}_s - f.(\alpha.\dot{x}_s)^2$

Pour
$$\dot{x}_s \neq 0$$
 cela donne $(M_3 + I_1.\alpha^2)\ddot{x}_s + f.\alpha^2.\dot{x}_s = Cm.\alpha$.

Q13. Fonction de transfert modélisant le comportement dynamique du manipulateur esclave Dans les conditions de Heaviside, la transformée de Laplace de l'équation différentielle obtenue est : $[(M_3 + I_1.\alpha^2)p^2 + f.\alpha^2.p]X_s(p) = Cm(p).\alpha$

D'où la fonction de transfert demandée :
$$H(p) = \frac{Xs(p)}{Cm(p)} = \frac{\alpha}{\left(M_3 + I_1 \cdot \alpha^2\right)p^2 + f \cdot \alpha^2 \cdot p}$$

Ecrivons cette FT sous forme canonique:

$$H(p) = \frac{\alpha}{p.((M_3 + I_1.\alpha^2)p + f.\alpha^2)} = \frac{\alpha}{p.f.\alpha^2.(\frac{(M_3 + I_1.\alpha^2)}{f.\alpha^2}.p + 1)}$$

Finalement
$$H(p) = \frac{\frac{1}{f \cdot \alpha}}{p \cdot \left(\frac{\left(M_3 + I_1 \cdot \alpha^2\right)}{f \cdot \alpha^2} \cdot p + 1\right)}. \text{ AN : } H(p) = \frac{20.8}{p \cdot \left(0.1 \cdot p + 1\right)}$$

IV. Réalisation de la commande de l'esclave

IV.1 Modélisation de l'environnement

Q14. Modèle de l'effort de pénétration d'une aiguille dans un tissu.

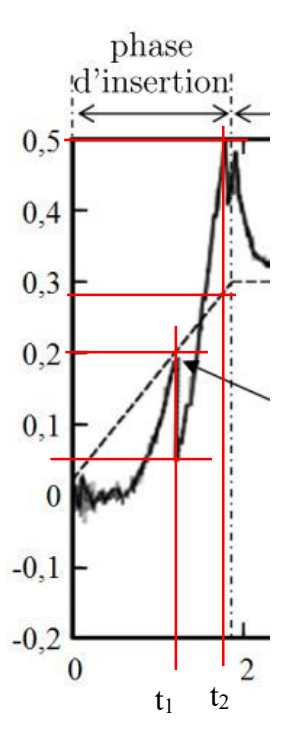
Il faut considérer la figure 15, et la fin de la phase d'insertion. Compte-tenu de ce qui est demandé (relation linéaire), on va retenir la phase entre les instants t_1 et t_2 sur l'extrait de la figure 15 ci-contre.

Durant cette phase, les grandeurs fe et xe ont toutes deux une évolution linéaire. De plus xe=0 quand fe=0.

Par suite on peut écrire : $f_e(t) = k_e \times x_e(t)$.

Évaluons ke sur la phase considérée : $k_e = \frac{\Delta f_e(t)}{\Delta x_e(t)} = \frac{f_e(t_2) - f_e(t_1)}{x_e(t_2) - x_e(t_1)}$

AN:
$$k_e = \frac{0.5 - 0.05}{0.028 - 0.02} = \frac{0.45}{0.008} = 56 \ N/m$$
.



Q15. <u>Modélisation du déplacement par une fonction sinus à partir de la figure 16.</u>

L'évolution de xe(t) est périodique et apparemment sans discontinuité de tangente. On peut donc la modéliser par une sinusoide. On relève sa période T = 4,25s environ.

Son amplitude est $\Delta x_e = 0 \ mm - (-10)mm = +10 \ mm$

Sa valeur moyenne est non nulle et on relève $x_{e0} = -5 \text{ mm}$.

Enfin $x_e(0) \neq x_{e0}$ donc la fonction sinus possède une phase non nulle à l'origine.

D'où l'expression de la fonction $x_e(t) = x_{e0} + \frac{\Delta x_e}{2} . \sin(\omega . t + \varphi)$

En remplaçant par les valeurs numériques de déplacement, et $\omega = 2\pi f = \frac{2\pi}{T}$ il vient :

$$x_{_{\mathcal{E}}}(t) = -5.10^{-3} + 5.10^{-3}.\sin(2\pi f.t + \varphi) = 5.10^{-3}.[-1 + \sin(2\pi f.t + \varphi)]. \text{ CQFD}.$$

On identifie
$$A = 5 \text{ mm}$$
 et $f = \frac{1}{T} \approx 0.24 \text{ Hz}$.

Finalement
$$f_e(t) = k_e \times x_e(t) = 0.28 \cdot \left[-1 + \sin\left(2\pi \cdot \frac{t}{4.25} + \varphi\right) \right]$$

Q16. Réglage de la valeur du produit RC du filtre passe-bas.

Le filtre passe-bas RC a pour constante de temps $\tau = RC$

Sa pulsation propre est $\omega_0 = \frac{1}{\tau} = \frac{1}{RC}$, d'où la fréquence propre $f_0 = \frac{\omega_0}{2\pi} = \frac{1}{2\pi RC}$.

On impose
$$f_0 = \frac{f_{ech}}{2}$$
 d'où finalement $\frac{f_{ech}}{2} = \frac{1}{2\pi . RC} \Leftrightarrow \boxed{RC = \frac{1}{\pi . f_{ech}}}$. AN: $\boxed{RC = \frac{1}{50.\pi} = 6,37 \text{ ms}}$

Q17. Nombre de bits N nécessaires pour avoir la précision demandée.

Le codage numérique d'une grandeur analogique génère une erreur potentielle majorée par la précision du codage, c'est-à-dire sa résolution : $erreur \le \frac{\text{Amplitude de mesure}}{\text{Nombre de points de codage}}$.

Ainsi avec une amplitude A=5V et un codage sur N bits on aura : $erreur \le \frac{A}{2^N}$.

En imposant une erreur maximale de 0,005 V cela donne : $0,005 \ge \frac{5}{2^N} \Leftrightarrow 2^N \ge \frac{5}{0.005} = 1000$

D'où finalement
$$N \ge \frac{\ln(1000)}{\ln(2)} = 9,96$$
 soit $N = 10$ bits.

IV.2 Modélisation et étude des performances du système sans correction

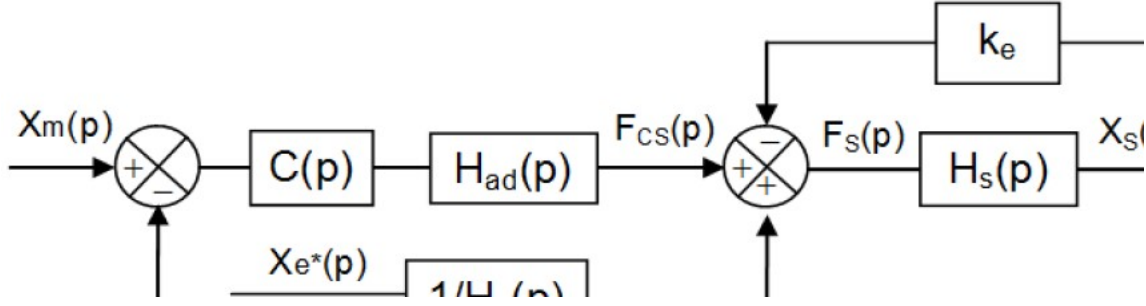
Q18. <u>Simplification du schéma-bloc de la figure 19.</u>

Il est possible d'utiliser une méthode algébrique s'appuyant sur les relations issues des schémasbloc initial (figure 19) et final (figure 20).

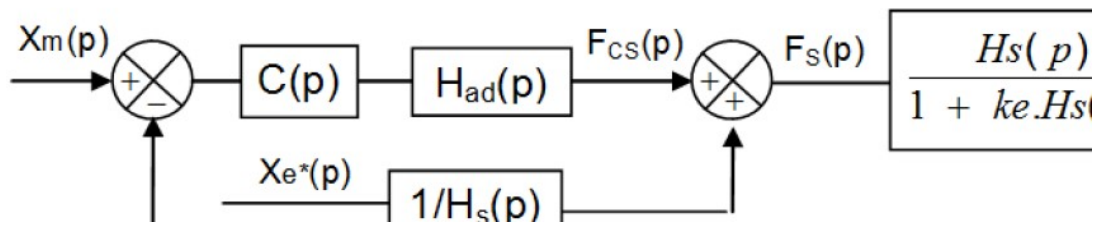
Nous présentons ici une méthode s'appuyant sur l'algèbre des schéma-bloc.

Les schémas ci-dessous sont les différentes étapes des modifications conduisant du schéma de la figure 19 à celui de la figure 20.

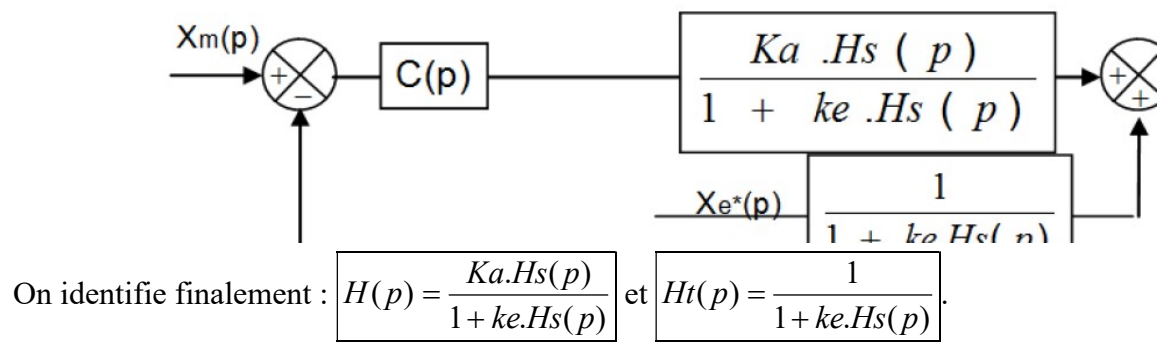
Tout d'abord on décale l'intervention de Xe(p) en amont pour le sortir de la boucle interne.



La FTBF de la boucle interne est alors : $\frac{Xv(p)}{Fcs(p)} = \frac{Hs(p)}{1 + ke.Hs(p)}$, d'où le schéma-bloc suivant.



On décale ensuite l'intervention en aval de la FT calculée pour obtenir le schéma-bloc final identique à la forme demandée.



IV.3 Vérification des exigences sans correction : C(p) = 1

Q19. FTBF sans perturbation

$$F_{BF1}(p) = \frac{Xv(p)}{Xm(p)} = \frac{C(p).H(p)}{1 + C(p).H(p)} = \frac{1}{\frac{1}{C(p).H(p)} + 1} \text{ avec C(p)=1 et } H(p) = \frac{1}{m_s.p^2 + b_s.p + k_e} ;$$

$$F_{BF1}(p) = \frac{1}{m_s \cdot p^2 + b_s \cdot p + k_e + 1}$$
 On reconnaît une FT du 2^{ème} ordre.

Ecrivons cette FT sous forme canonique :
$$F_{BF1}(p) = \frac{\frac{1}{1+k_e}}{\frac{m_s}{1+k_e} \cdot p^2 + \frac{b_s}{1+k_e} \cdot p + 1}$$

D'où ses paramètres caractéristiques : gain statique $K = \frac{1}{1 + k_e} = 0,005 \text{ su}$

$$\begin{cases}
\frac{1}{{\omega_0}^2} = \frac{m_s}{1+k_e} \\
\frac{2z}{\omega_0} = \frac{b_s}{1+k_e}
\end{cases} \Leftrightarrow \begin{cases}
\omega_0 = \sqrt{\frac{1+k_e}{m_s}} = 36,4 \text{ rad/s} \\
z = \frac{\omega_0}{2} \frac{b_s}{1+k_e} = \frac{b_s}{2.\sqrt{m_s.(1+k_e)}} = 0,13 \text{ su}
\end{cases}$$
NB: « su » pour sans unité;

Q20. <u>Vérification des exigences stabilité (amortissement)</u>, rapidité et précision.

- ➤ La FT a un coefficient d'amortissement z=0,13<1, donc la réponse indicielle présentera un dépassement transitoire. L'exigence de stabilité (amortissement) n'est donc pas vérifiée.
- L'exigence rapidité impose un temps de réponse à 5% max pour un échelon de 0,1 s. Pour z=0,13 l'abaque du temps de réponse réduit figure 21.a donne $tr5\%.\omega_0 > 20$.

Ainsi
$$tr5\% > \frac{20}{\omega_0}$$
, or $\omega_0 = 36.4 \ rad / s \ d'où [tr5\% > 0.55 \ s]$.

L'exigence de rapidité n'est donc pas vérifiée.

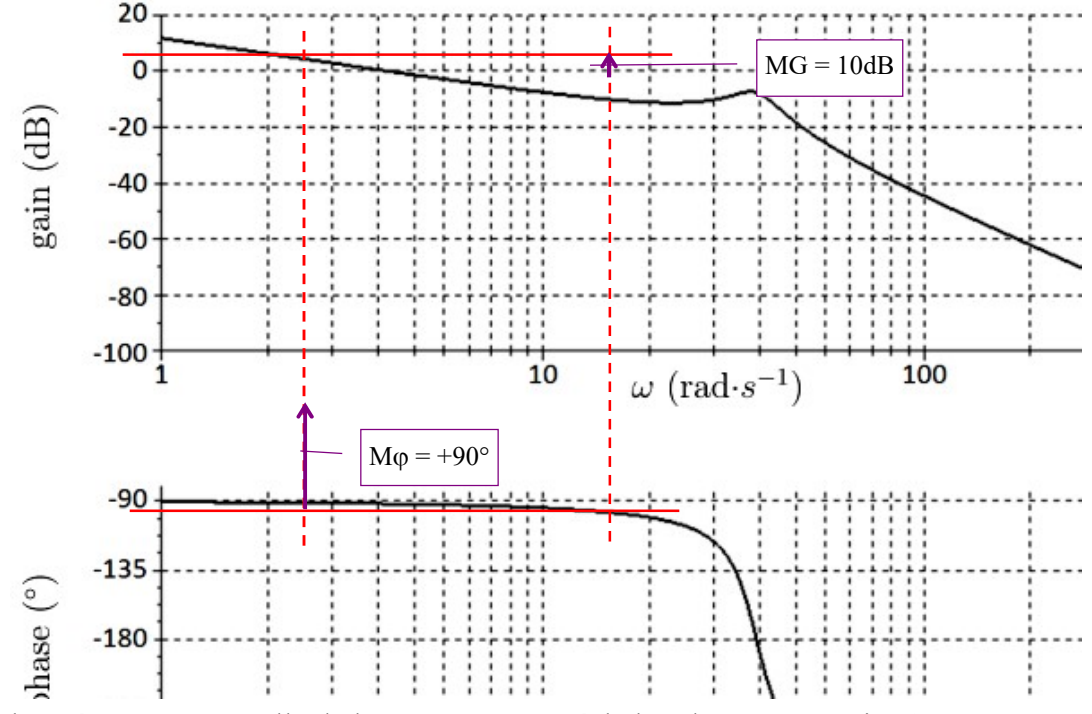
L'exigence de précision impose une erreur statique max relative à un échelon de 1%. La FT ayant un gain statique K on aura en régime permanent (statique): $\Delta s = K.\Delta e$, d'où une erreur statique relative: $\frac{\Delta e - \Delta s}{\Delta e} = 1 - \frac{\Delta s}{\Delta e} = 1 - K$.

Avec K=0,005 on obtient une erreur de 0,995 bien supérieur à 1%=0,01. L'exigence de précision n'est donc pas vérifiée.

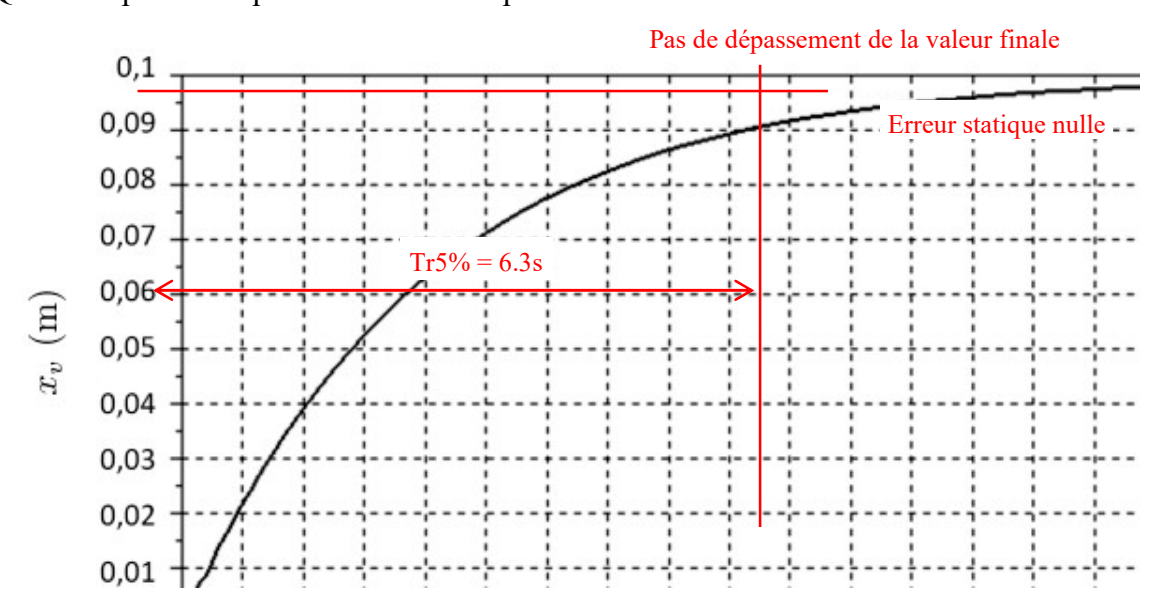
IV.4 Modélisation et étude des performances du système avec correction intégrale

Q21. Vérification des exigences « stabilité », « rapidité », « précision » (erreur statique).

DR Q21a : Diagramme de Bode de la FTBO ouverte pour Ki = 100.



DR Q21b : Réponse temporelle de la FTBF pour un échelon de 10 cm et Ki = 100.



Les résultats issus de relevés sur les DR21a et 21b sont portés dans le tableau DR1 reproduit ci-contre. Ils permettent de vérifier les exigences demandées. Nous proposons un DR1 enrichi qui aurait permis d'apporter une réponse plus synthétique.

| Temps de réponse à 5% | 6.3s |
|--|-------|
| Amplitude du 1 ^{er} dépassement | 0 |
| Erreur statique | 0 |
| Marge de phase | +90° |
| Marge de Gain | +10dB |

| Exigence | Critère | Niveau relevé | Niveau demandé | Satisfaction |
|-----------|--|---------------|----------------|--------------|
| Stabilité | Marge de phase | +90° | ≥ 45° | OUI |
| Stabilité | Marge de Gain | +10dB | ≥ 7,5dB | OUI |
| Stabilité | Amplitude du 1 ^{er} dépassement | 0 | Aucun | OUI |
| Précision | Erreur statique | 0 | ≤ 1% | OUI |
| Rapidité | Rapidité Temps de réponse à 5% | | ≤ 0,1s | NON |

On peut conclure que les exigences de stabilité et précision sont satisfaites, mais qu'il faut améliorer la rapidité du système. C'est justement l'objet des questions suivantes.

Q22. Valeur maximale de Ki qui permet de respecter les marges de stabilité.

Avec Ki=100 on a relevé MG = +10dB

On cherche Kimax tel que MG = +7,5dB

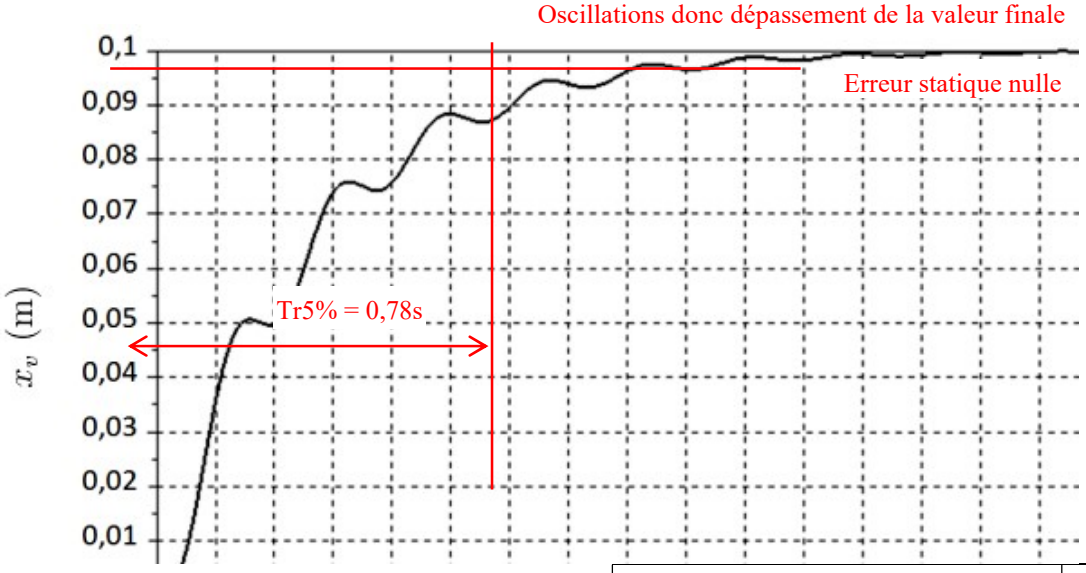
Passer de Ki=100 à Kimax doit donc remonter le gain de 2,5 dB.

Posons Ki max = a.Ki, alors on aura $20\log(a)=2.5$ dB soit $a=10^{\frac{2.5}{20}}=1.33$.

Ainsi on obtient $\underline{\text{Ki max}} = 133$. La marge de phase reste très proche de $+90^{\circ}$

Q23. Capacité du correcteur à valider simultanément les exigences « stabilité » et « rapidité »

DR23 : Réponse temporelle de la FTBF pour un échelon de 10 cm avec le réglage Ki max.



Les résultats issus de relevés sur le DR32 ci-dessus sont portés dans le tableau DR2 reproduit ci-contre.

| Temps de réponse à 5% | 0,78s |
|--|-------|
| Amplitude du 1 ^{er} dépassement | 0+ |
| Erreur statique | 0 |

Conclusion pour Ki max:

- Arr Tr5% = 0.78s > 0.1 s donc la rapidité n'est pas satisfaite.
- la réponse temporelle devient oscillante, donc il y aura dépassement de la valeur finale ; la stabilité n'est pas satisfaisante.
- > L'erreur statique est bien nulle.

Ce correcteur ne permet pas de vérifier simultanément la nécessaire stabilité et la rapidité demandée.

- **Q24.** Le cahier des charges impose une atténuation minimale telle que $G(\omega) \le \frac{1}{100}$ soit $GdB(\omega) \le -20.Log[100] = -40dB$.
- Q25. Validation de l'exigence « précision » pour le critère d'atténuation avec Kimax.

Le gain $G(\omega) = |H(j.\omega)|$ est le rapport des amplitudes des signaux sortie/entrée.

$$GdB(\omega) = 20.Log[G(\omega)]$$

Sur l'intervalle de pulsation considéré, le gain maximal est GdB max = -30dB.

Or on exige une atténuation minimale telle que $G(\omega) \le \frac{1}{100}$ soit $GdB(\omega) \le -20.Log[100] = -40dB$.

 $GdB \max = -30dB \ge -40dB$ donc le critère de l'atténuation n'est pas vérifié.

IV.5 Modélisation et étude des performances du système avec correction IMC

Q26. Valeur limite de T permettant de satisfaire l'exigence de « rapidité ».

On considère A(p) la fonction de transfert relative à l'entrée (ou transmittance pour les puristes).

C'est un FT du $2^{\text{ème}}$ ordre dont le tr5% est lié à la pulsation propre ω_0 et au coefficient d'amortissement z par l'abaque du temps de réponse réduit donné figure 21.a.

$$A(p) = \frac{1}{(1+T.p)^2} = \frac{1}{1+2.T.p+(T.p)^2}.$$

On peut donc identifier : $\begin{cases} \frac{1}{{\omega_0}^2} = T^2 \\ \frac{2z}{{\omega_0}} = 2T \end{cases} \Leftrightarrow \begin{cases} \omega_0 = \frac{1}{T} \\ z = \frac{\omega_0}{2}.2T = \frac{2T}{2T} = 1 \text{ su} \end{cases}.$

Pour z=1 l'abaque du temps de réponse réduit figure 21.a donne $tr5\%.\omega_0 \approx 5$, c'est-à-dire $tr5\% \approx 5.T$ Ainsi il faut diminuer T pour diminuer le tr5.

Pour avoir $tr5\% \le 0.1s$ on doit avoir $5T \le 0.1s$ soit $T \le 0.02s$

Q27. Idem Q24

Q28. Valeur limite de T permettant de satisfaire l'atténuation de la perturbation liée à l'exigence de « précision » sur l'intervalle [1,25 rad/s ; 12,5 rad/s]

Pour cela on dispose du DR3 qui donne le diagramme de Bode de B(p) la transmittance relative à la perturbation pour T=1s. On donne $B(p) = \frac{T \cdot p \cdot (2 + T \cdot p)}{(1 + T \cdot p)^2}$.

On observe sur le DR3 deux zones :

Pour $\omega \ll \omega_0 = \frac{1}{T}$ soit $T.\omega \ll 1$, un gain avec une pente de +20dB par décade, et une phase qui tend vers $+90^\circ$, ce qui correspond à un dérivateur et est confirmé par l'équivalent : $B(p) = \frac{T.p.(2+T.p)}{(1+T.p)^2} \approx \frac{2.T.p}{1}.$

Pour $\omega >> \omega_0 = \frac{1}{T}$ soit $T.\omega >> 1$, un gain nul et une phase qui tend vers 0° , ce qui correspond à un

gain unitaire et est confirmé par l'équivalent : $B(p) = \frac{T \cdot p \cdot (2 + T \cdot p)}{(1 + T \cdot p)^2} \approx \frac{(T \cdot p)^2}{(T \cdot p)^2} = 1$.

Par suite il ne peut y avoir d'atténuation que pour les pulsations $\omega \ll \omega_0 = \frac{1}{T}$, c'est-à-dire que l'on considère la partie avec un gain de pente $+20 \, \mathrm{dB/d\acute{e}cade}$.

On a déjà vu que l'atténuation est minimale quand le gain est maximal.

L'exigence spécifie une atténuation de 1/100, soit $GdB \le -40dB$.

On doit done avoir $GdB(12,5rad/s) \le -40dB$.

Réponse approchée à partir de considérations graphiques sur le DR3 :

Il faut décaler la cassure en 1/T vers la droite jusqu'à obtenir $GdB(12,5rad/s) \le -40dB$.

En approchant 12,5 rad/s à 10 rad/s on aurait $\omega_0 = \frac{1}{T} = 10\ 000\ rad/s$ soit $T \max = 10^{-4}\ s = 0,1\ ms$.

Réponse à partir du calcul analytique

On doit avoir $|B(j.\omega_2)| \le \frac{1}{100}$ avec $\omega_2 = 12.5 \, rad \, / s$;

$$\left|B(j.\omega_2)\right| = \frac{\left|T.j.\omega_2\right| \left|2 + T.j.\omega_2\right|}{\left|1 + T.j.\omega_2\right|^2} = \frac{T.\omega_2.\sqrt{4 + \left(T.\omega_2\right)^2}}{1 + \left(T.\omega_2\right)^2}.$$

Une résolution numérique donne $T \max = 4,00.10^{-4} s = 0,4 ms$

Variante analytique

La résolution de $|B(j.\omega_2)| \le \frac{1}{100}$ pour $\omega_2 = 12.5 \ rad/s$ avec la fonction équivalente aux basses fréquences $B(p) \approx 2.T.p$ donne le même résultat, mais plus simplement :

$$2.T \times 12.5 \le \frac{1}{100} \iff 25.T \le \frac{1}{100} \iff T \le \frac{1}{2500} = 0.4 \text{ ms}.$$